

## Оценка предела выносливости валов по результатам испытаний их моделей

Б. Ф. Федоренко, В. С. Лукьянов

АО “Мотор Сич”, Запорожье, Украина

Предложена методика оценки предела выносливости эксцентрикового вала горизонтально-ковочной машины по результатам испытаний его геометрически подобных моделей. Оценка выполнена с использованием аналитической зависимости, полученной методом анализа размерностей.

**Ключевые слова:** предел выносливости, анализ размерностей, моделирование.

**Введение.** При эксплуатации горизонтально-ковочных машин наблюдаются усталостные поломки крупных эксцентриковых и коленчатых валов [1].

Для выявления причин поломок эксцентрикового вала из стали 40ХНМА (далее – вал) были проведены испытания на выносливость его геометрически подобных моделей (далее – модель) – рис. 1 и гладких образцов (далее – образец) – рис. 2 [2]. Образцы и модели (материал – сталь 40ХНМА,  $E = 2 \cdot 10^5$  МПа,  $\gamma = 7850$  кг/м<sup>3</sup>,  $\sigma_b = 785$  МПа,  $\sigma_t = 588$  МПа) испытывали при комнатной температуре в условиях, соответствующих нагружению эксцентрикового вала при его работе. Как видно из данных табл. 1, получены величины предела выносливости в широком диапазоне, что свидетельствует о неприменимости полученных результатов испытаний для оценки предела выносливости вала, диаметр рабочей части которого составляет 800 мм (рис. 1).

Т а б л и ц а 1

Значения предела выносливости (МПа) образцов и моделей по данным [2]

Диаметр рабочей части, мм	Образец	Модель
12	378	162
20	358	147
160	284	<118

Поскольку геометрически подобная модель в большей степени учитывает конструктивные особенности вала, чем гладкий образец, цель настоящей работы заключается в оценке предела выносливости вала по имеющимся в [2] результатам испытаний моделей.

**Методика исследования.** Предлагаемая методика основана на двух предпосылках.

1. В работах [3–5] изложены принципы моделирования, согласно которым модели, в том числе и предназначенные для оценки предела выносливости вала, должны быть выполнены с учетом физических параметров, опи- сывающих свойство вала.

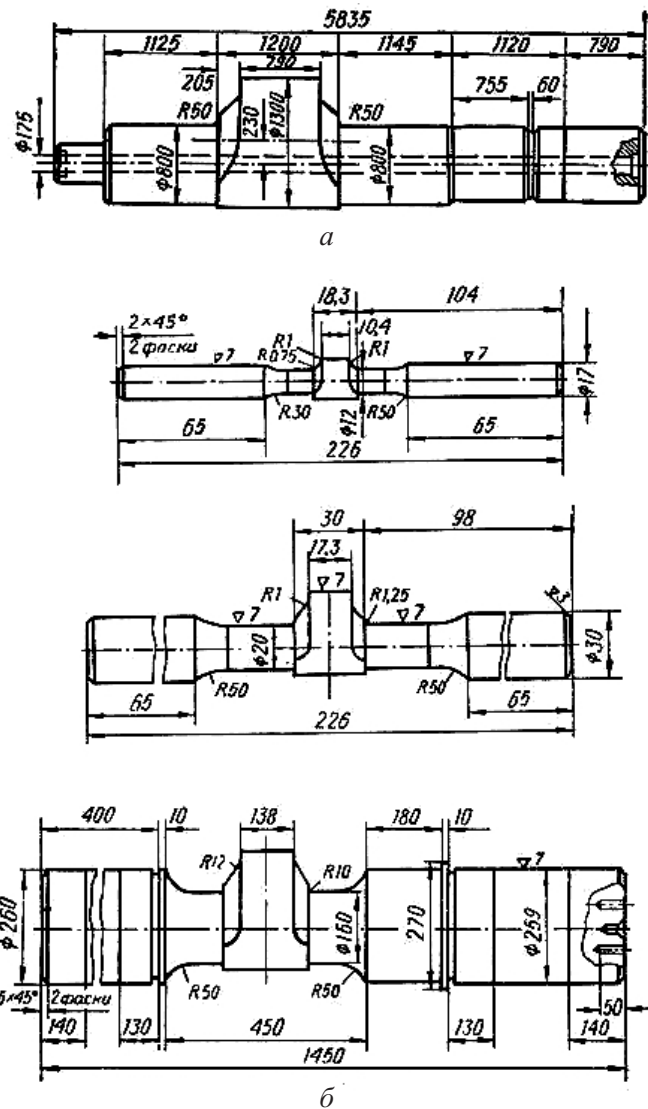


Рис. 1. Эксцентриковый вал горизонтально-ковочной машины (а) и его модели (б).

2. При создании модели обязательно равенство величин, полученных по соответствующим критериям подобия для вала и модели.

Формирование критериев подобия для конструкции типа вал представлено в [6].

По известным [2] геометрическим параметрам вала и моделей (табл. 2), а также характеристикам материала (сталь 40ХНМА) рассчитаны критериальные зависимости подобия (табл. 3). Данные табл. 3 показывают равенство только величины энергетического критерия, величины критериальных зависимостей подобия, характеризующих напряженное состояние, различаются. Это свидетельствует о невыполнении принципа моделирования [3–5].

С учетом изложенного методика оценки предела выносливости вала состоит в следующем.

Т а б л и ц а 2

## Значения геометрических параметров вала и моделей [2]

Параметр рабочей части, мм	Вал	Модель		
		96	96	450
Длина	3470			
Диаметр	800	12	20	160

Т а б л и ц а 3

## Значения критериев подобия [3] вала и моделей

Критерий подобия	Диаметр рабочей части вала, мм	Диаметр рабочей части модели, мм		
		12	20	160
$\frac{EI}{\gamma l^3 S}$	2488	26513	73432	45616
$\frac{\sigma_{-1} l^4}{EI}$	—	67,35	7,95	0,63
$\frac{\sigma_B}{\sigma_T}$	1,33	1,33	1,33	1,33

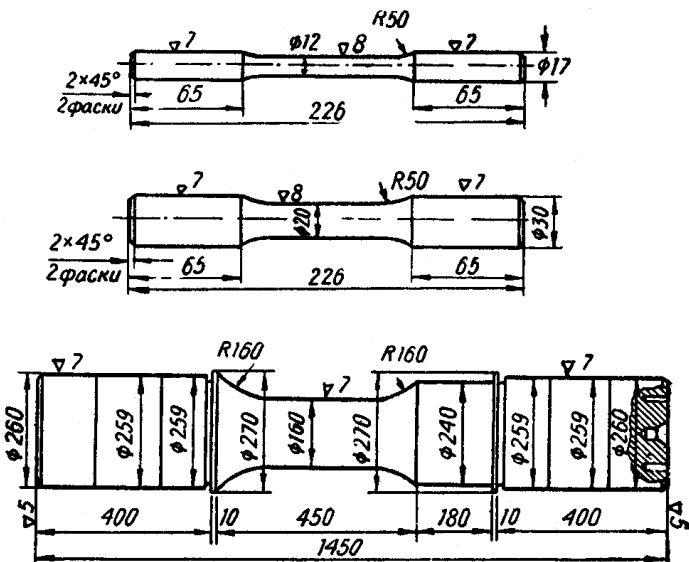


Рис. 2. Гладкие образцы.

С помощью геометрических параметров вала и моделей, а также характеристик материала определяем критериальную зависимость подобия для вала и моделей.

Предел выносливости вала оцениваем по аналитической зависимости, описывающей накопление усталостной повреждаемости вала (модели) с учетом конструкции и условий нагружения – круговой изгиб с вращением [6]:

$$\frac{\sigma_{-1} l^4}{EI} = C \left( \frac{EI}{\gamma l^3 S} \right)^e \left( \frac{\sigma_b}{\sigma_t} \right)^h, \quad (1)$$

где  $C = 8,99 \cdot 10^8$ ;  $e = -1,4$ ;  $h = -1,223$ .

Для рассматриваемого вала определяем величину  $C$  по результатам испытаний моделей [2].

**Результаты исследования.** С использованием зависимости (1) вычислены пределы выносливости каждого из исследованных типоразмеров модели. При сравнении этих значений с экспериментальными данными [2] установлено значительное их расхождение, которое может быть устранено уточнением величины  $C$ .

Известно, что выносливость конструкции обусловлена большим количеством факторов. Поэтому при разработке аналитической зависимости в нее вводят параметры, по мнению авторов, оказывающие существенное влияние на выносливость, а влияние параметров, не вошедших в зависимость, учитывается по величине  $C$ , которая является эмпирической и для определения которой необходимы результаты исследований.

В данном случае по экспериментальным значениям предела выносливости испытанных типоразмеров моделей при решении обратной задачи с использованием зависимости (1) вычислены значения коэффициента  $C$  для исследуемых моделей.

Показано, что каждому типоразмеру модели соответствует свой коэффициент  $C$ , величина которого уменьшается с увеличением диаметра рабочей части  $D$ : при  $D = 12, 20$  и  $160$  мм коэффициент  $C$  составляет соответственно  $1,5 \cdot 10^8$ ,  $0,74 \cdot 10^8$  и  $0,03 \cdot 10^8$ .

Поэтому необходимо установить характер зависимости коэффициента  $C$  от диаметра рабочей части  $D$  исследованных моделей.

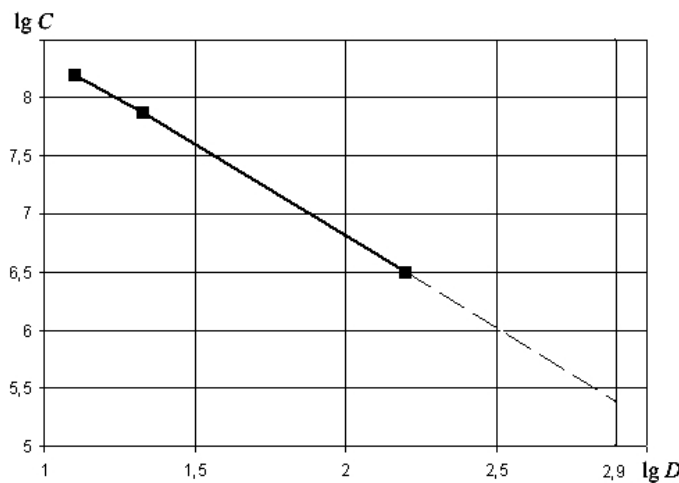


Рис. 3. Зависимость коэффициента  $C$  от диаметра рабочей части  $D$  модели.

Приведенные выше значения коэффициента  $C$  для моделей представлены на рис. 3 в координатах  $\lg C - \lg D$ . Полученные точки хорошо аппроксимируются линиями, что подтверждает правильность полученных зависимостей.

симируются линейной зависимостью. Продлив сплошную линию до значения диаметра рабочей части модели, равного 800 мм ( $\lg D = 2,9$ ), что соответствует величине диаметра искомого вала, определим значение коэффициента  $C = 239883$ .

С использованием зависимости (1) и полученного коэффициента  $C$  вычислим предел выносливости вала, расчетная величина которого составляет 82 МПа. Это значение хорошо согласуется с представленными в табл. 1 результатами испытаний: величина предела выносливости уменьшается с увеличением диаметра рабочей части.

**Заключение.** Предложена методика оценки предела выносливости вала по результатам испытаний его геометрически подобных моделей, разработанных без учета требований физического моделирования.

## Резюме

Запропоновано методику оцінки границі витривалості ексцентрикового вала горизонтально-кувальної машини за результатами випробувань його геометрично подібних моделей. Оцінку виконано з використанням аналітичної залежності, що отримана за допомогою методу аналізу розмірностей.

1. Шрамченко С. В., Белкин М. Я., Рулев В. И. Поверхностное упрочнение крупных коленчатых валов // Вест. машиностроения. – 1972. – № 1. – С. 49 – 51.
2. Белкин М. Я., Масол В. А., Саввина Н. М., Рулев В. И. Выносливость валов из углеродистой и легированной сталей // Пробл. прочности. – 1977. – № 3. – С. 109 – 113.
3. Веников В. А. Теория подобия и моделирования. – М.: Высш. шк., 1976. – 479 с.
4. Клейн С. Дж. Подобие и приближенные методы. – М.: Мир, 1968. – 302 с.
5. Седов Л. И. Методы подобия и размерности в механике. – М.: Наука, 1987. – 432 с.
6. Федоренко Б. Ф., Лукъянов В. С. Оценка выносливости элементов конструкции на стадии проектирования // Пробл. прочности. – 2007. – № 5. – С. 44 – 54.

Поступила 26. 09. 2011